

Foto LB-9500. Contacto cabalgante del Devónico sobre el Carbonífero inferior.



Foto LB-9501.- Panorámica de los afloramientos Paleozoicos del Sur de la Hoja.

D: Devónico cuarcítico; C: Carbonífero inferior con cultivo extensivo de olivares.

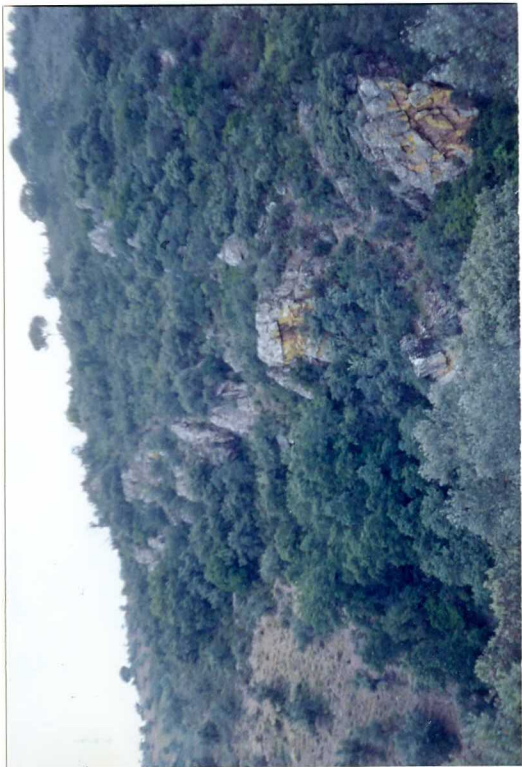


Foto LB-9502. Detalle de la anterior

inferior de la unidad de Los Pedroches

Foto IB-9503. Conglomerado de facies canalizadas en el Carbonífero





Foto LB-9504. Facies arenosas no canalizadas (A_1) en el CULM de la unidad de Los Pedroches. Retrabajamiento por estructuras "hummocky"



Foto LB-9505. Facies arenosas canalizadas (A_2) del CULM de la unidad de Los Pedroches. Bordinaje de los bancos.



Foto LB-9506. Facies arenosas del CULM de la unidad de Los Pedroches.
Retrabajamiento por "hummockies" del techo de las capas



Foto TB-9507. Facies heterolíticas (turbidíticas) en el Carbonífero inferior de la unidad de Los Pedroches



Foto LB-9509. Facies lutíticas (l_1) del Carbonífero inferior
(CULM) de la unidad de Los Pedroches



Foto LB-9510. Idem anterior, donde se observa clara refracción de la esquistosidad



Foto LB-9511. Facies heterolíticas (turbidíticas) con neta granoselección y refracción de la esquistosidad. CUIM de la unidad de Los Pedroches





Fotos LB-9512 y LB-9513. Aspecto general y de detalle de los tramos lutítico-carbonatados próximos a la base del CULM de la unidad de Los Pedroches



Foto LB-9514."Polvos de hematites" en el CULM de la unidad de Los
Pedroches



Foto LB-9515. Pillow-lavas basálticas intercaladas en el CULM de la unidad del Guadalbarbo





Fotos LB-9516 y LB-9517. Aspecto de los pliegues de fase I en las facies heterolíticas del CULM de la unidad de Los Pedroches



Foto LB-9518. Facies lutíticas (L_2) con granoselección mostrando pliegues abiertos característicos de estas facies

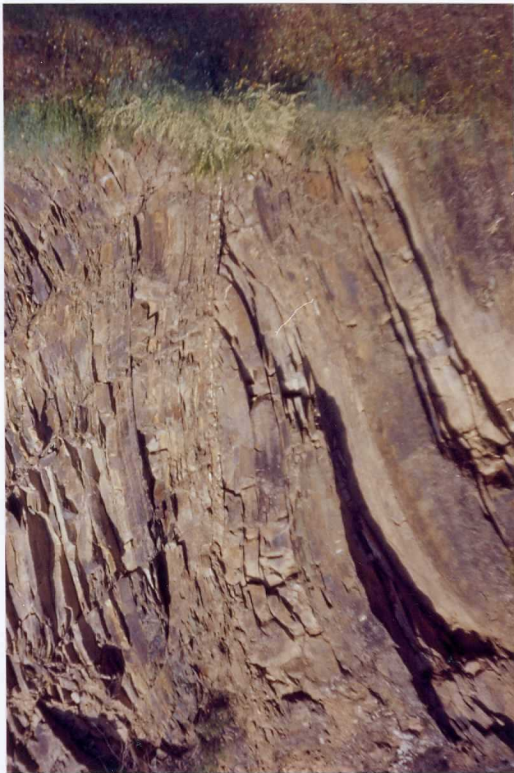


Foto LB-9519. Pliegues similares y fallas asociadas, característicos de la deformación de las facies lutíticas (L_1) del CULM



Foto LB-9520. Refracción de la esquistosidad (de presión disolución) en facies heterolíticas del CULM



Foto LB-9522. Facies heterolíticas con espectaculares estructuras del tipo "hummocky Cross-stratification"



Foto LB-9523. Detalle de la textura mosqueada en la aureola de contacto del batolito de Los Pedroches, marcada por el desarrollo de porfiroblastos de silicatos de aluminio



Foto LB-9524. Detalle de las corneanas con los mencionados diques
peomo-aplíticos





Fotos LB-9525 y LB-9526. Diques microdioríticos encajando en el Cull de la unidad de Los Pedroches: afloramiento (foto superior) y aspecto textural (foto inferior)



Foto LB-9527. Contacto intrusivo de la granodiorita de Los Pedroches en el CULM. Diques pegmo-aplíticos próximos al contacto



Foto LB-9528. Aspecto característico de afloramiento de granodiorita de Los Pedroches

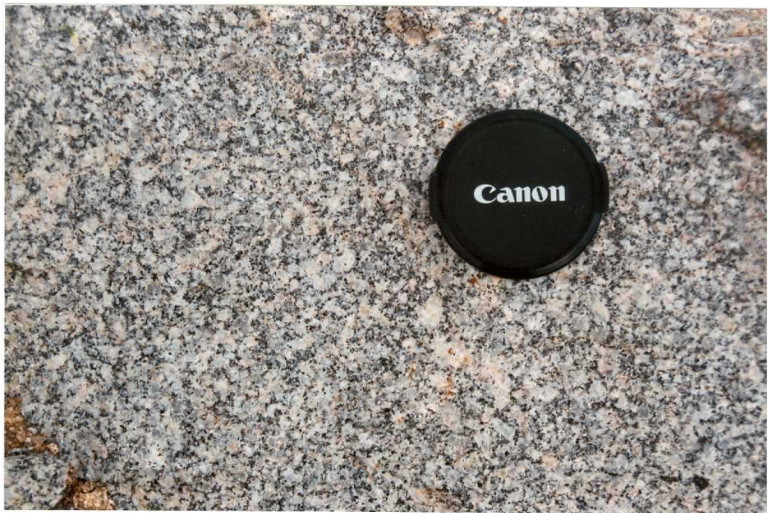


Foto IB-9529. Facies común de la granodiorita de Los Pedroches



Foto JB-9530. Granodiorita de Los Pedroches orientada en una zona de de cizalla





Fig. LB-9531 y LB-9532. Xenolitos de material encajante en la grano-diorita de Los Pedroches (facies comun)



Canon



Foto LB-9533 y LB-9534. Enclaves microgranulosos de composición tonalítico-diorítica y origen incierto, englobados por las facies común de la granodiorita de Los Pedroches







Fotos LB-9536 y LB-9537. Contactos netos entre granodiorita (facies común) y microgranodiorita en la zona de "mingling" del sur de Pozoblanco



Canon

Fotos LB-9535 y LB-9538. Contactos difusos entre granodiorita (facies común) y microgranodiorita poiquilítica en la zona de "mingling" del Sur de Pozoblanco



Fotos LB-9553 y LB-9539. Afloramientos típicos de diques de pórfidos riolíticos



Foto LB-9540. Pófido granodiorítico con enclave de material encajante



Canon



Foto LB-9541 y LB-9542. Porfido granodiorítico: facies central (foto superior) y facies de borde (foto inferior)



Foto LB- 9543. Panorámica del afloramiento de adamellita del cerro de la Fresnedilla



Foto LB-9544. Adamellita porfídica del cerro de la Fresnedilla



Foto LB-9545. Aspecto de la adamellita porfídica del cerro de la Fresnedilla



Foto LB-9546. Microadamellita porfídica. Compárese tamaño de grano con la foto superior



Foto LB-9547. Contacto transicional entre adamellita y microadamellitas. Nótese dique de aplitas en el margen izquierdo de la foto cortando ambas facies



Foto LB-9548. Contacto neto entre adamellitas y microadamellitas

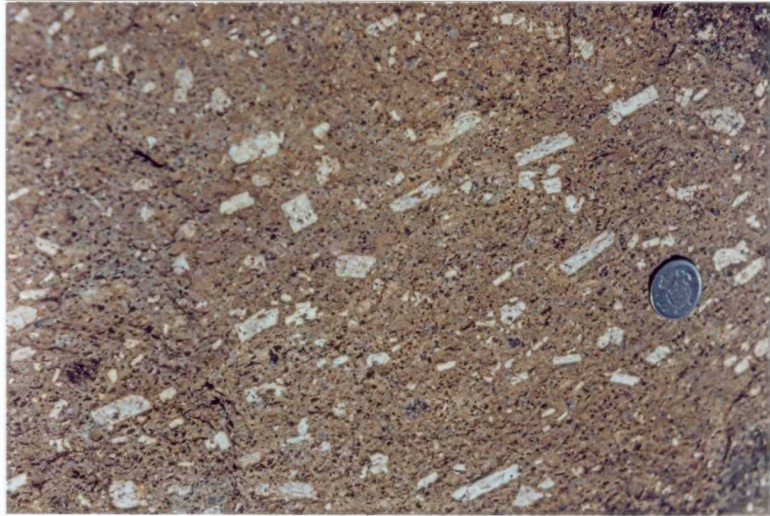


Foto IB-9549. Afloramiento de microgranitos leucocráticos en las proximidades de la ermita de la Cigüeñela



Foto LB-9550. Detalle de los microgranitos leucocráticos





Fotos LB-9551 y LB-9552. Pórfido adamellítico: afloramiento del dique (foto superior) y aspecto textural (foto inferior)







Fotos LB-9554 y LB-9555. Dique riolítico de la ermita de la Virgen de Luna.
Facies central porfídica (foto superior), facies -
fluidal de borde (foto inferior)



Foto LB-9556. Dique aplítico en el cerro de la Fresnedilla

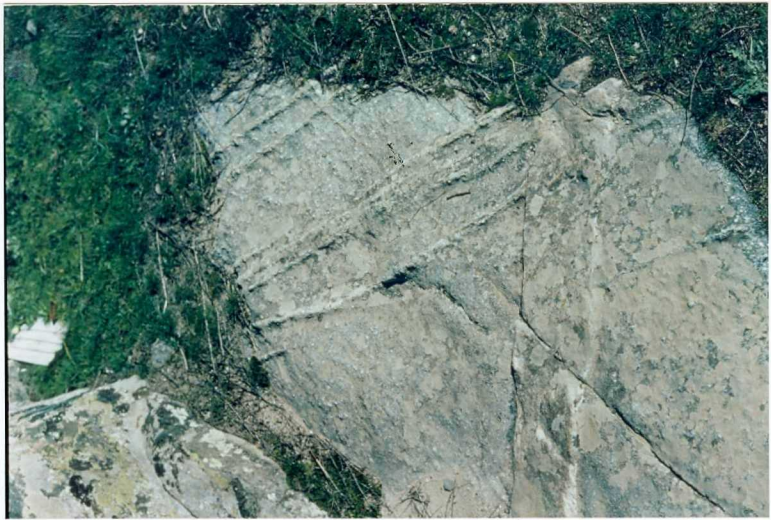


Foto LB-9557. Venas aplíticas rellenando diversos lotes de fracturas y cortan-
dando a la granodiorita de Los Pedroches

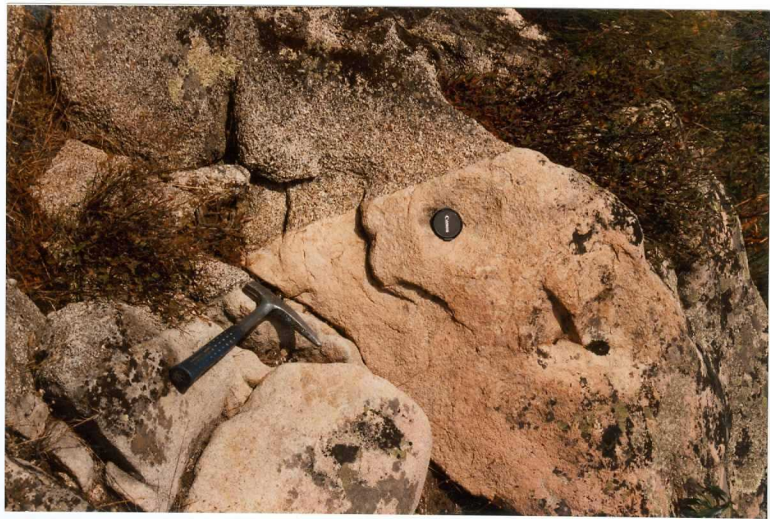


Foto LB-9558. Detalle del contacto del mismo dique de la foto anterior,
cortando a las adamellitas